

# IZS - zadania dodatkowe

Dimitrije Vlajsević  
grupa 2

13.01.2026.

## 1 Wstęp

Celem niniejszego sprawozdania jest empiryczne zbadanie własności centralnego twierdzenia granicznego oraz asymetrycznej wędrówki losowej w jednym wymiarze. Analiza została przeprowadzona metodą symulacji Monte Carlo z wykorzystaniem języka Python.

## 2 Zadanie 1 – Centralne Twierdzenie Graniczne

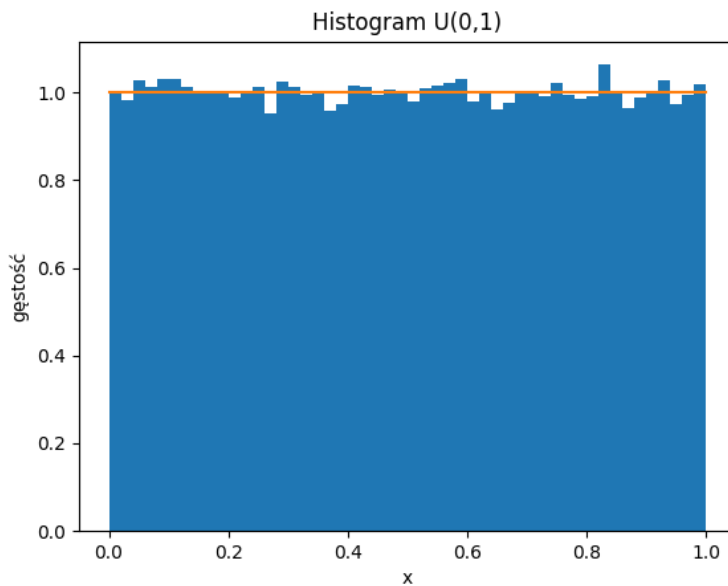
Centralne twierdzenie graniczne (CTG) stwierdza, że dla ciągu niezależnych zmiennych losowych o jednakowym rozkładzie, posiadających skończoną wartość oczekiwana i wariancję, rozkład średniej z próby dąży do rozkładu normalnego wraz ze wzrostem liczby obserwacji.

### 2.1 Rozkład jednostajny

Rozważono zmienną losową  $X \sim U(0, 1)$ , dla której:

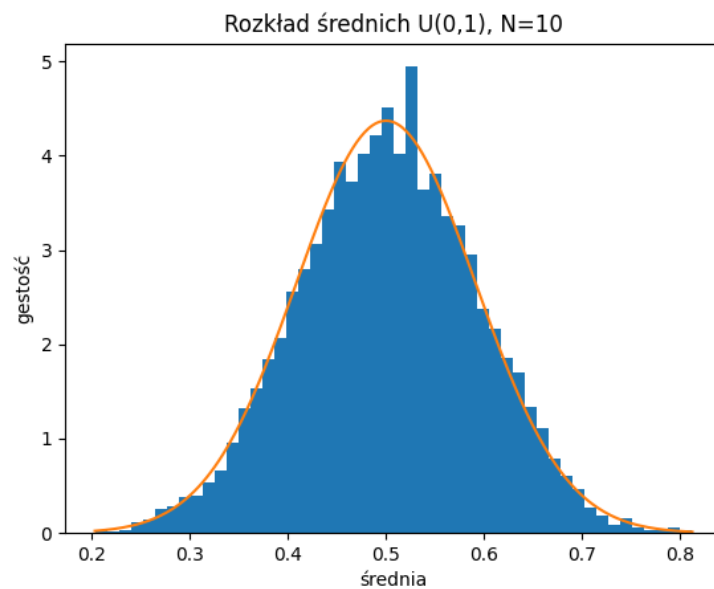
$$\mathbb{E}[X] = 0.5, \quad \text{Var}(X) = \frac{1}{12}. \quad (1)$$

Najpierw wygenerowano dużą próbę zmiennych losowych w celu weryfikacji zgodności histogramu z teoretyczną gęstością rozkładu jednostajnego.

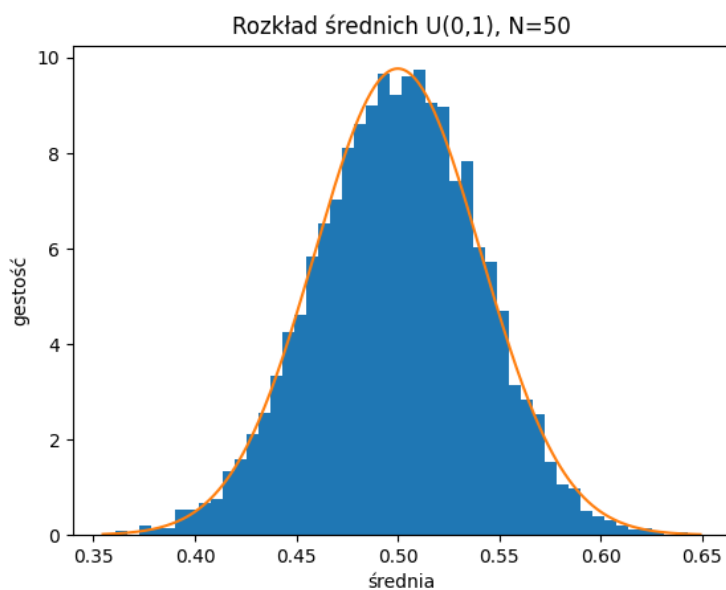


Rysunek 1: Histogram zmiennych losowych z rozkładu jednostajnego  $U(0, 1)$ .

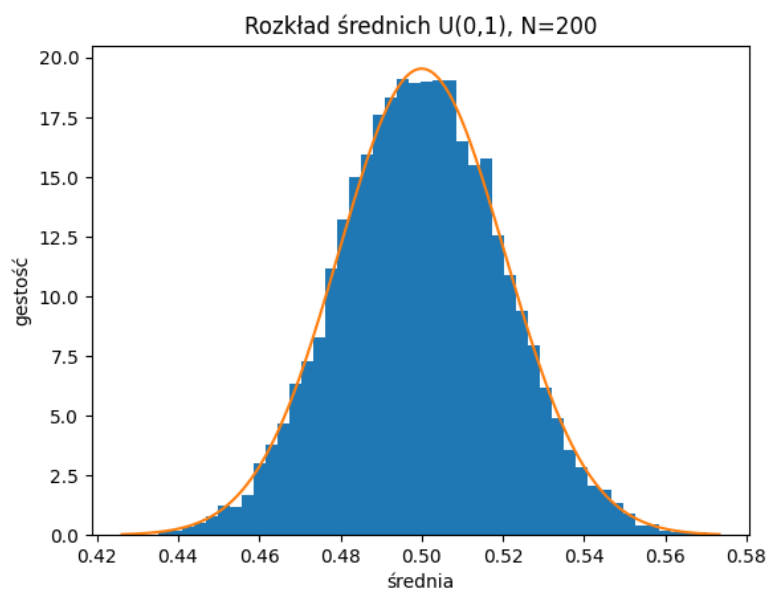
Następnie przeprowadzono  $M = 10,000$  niezależnych symulacji, w których obliczano średnią z  $N$  obserwacji, gdzie  $N \in 10, 50, 200, 1000$ . Otrzymane rozkłady średnich porównano z teoretycznym rozkładem normalnym.



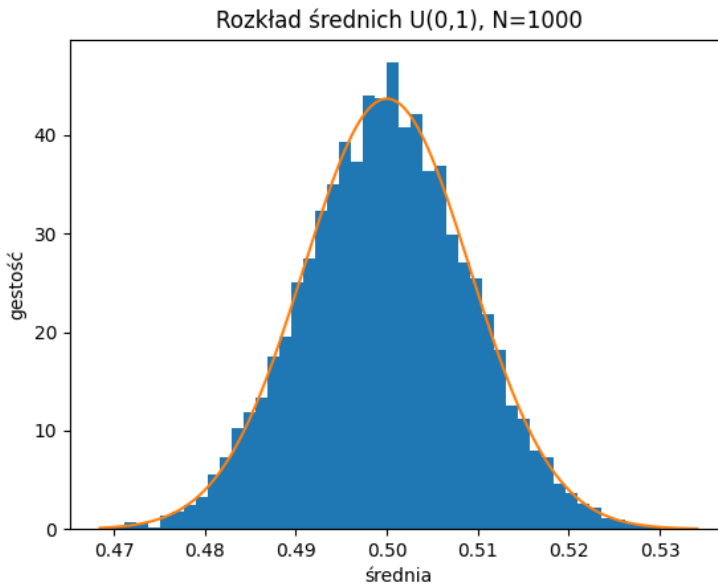
Rysunek 2: Rozkład średnich dla rozkładu jednostajnego,  $N = 10$ .



Rysunek 3: Rozkład średnich dla rozkładu jednostajnego,  $N = 50$ .



Rysunek 4: Rozkład średnich dla rozkładu jednostajnego,  $N = 200$ .

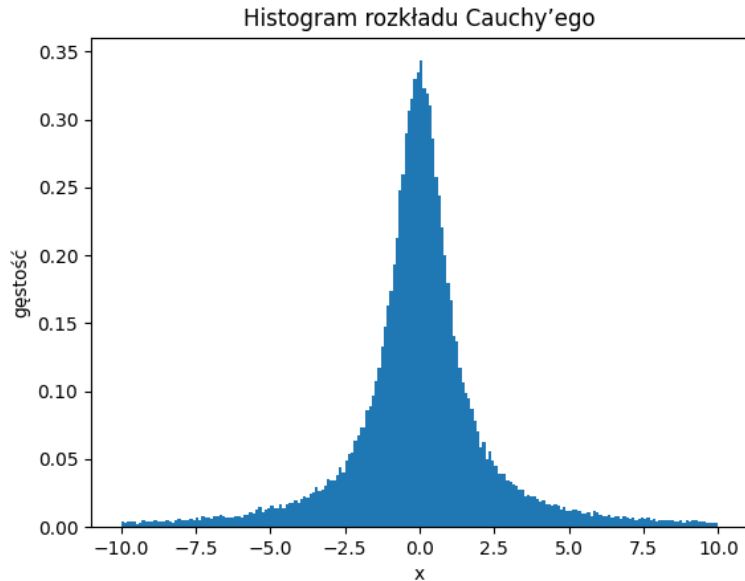


Rysunek 5: Rozkład średnich dla rozkładu jednostajnego,  $N = 1000$ .

Wraz ze wzrostem liczbą obserwacji  $N$  rozkład średnich coraz lepiej przybliża rozkład normalny, a jego rozrzut maleje, co potwierdza działanie centralnego twierdzenia granicznego.

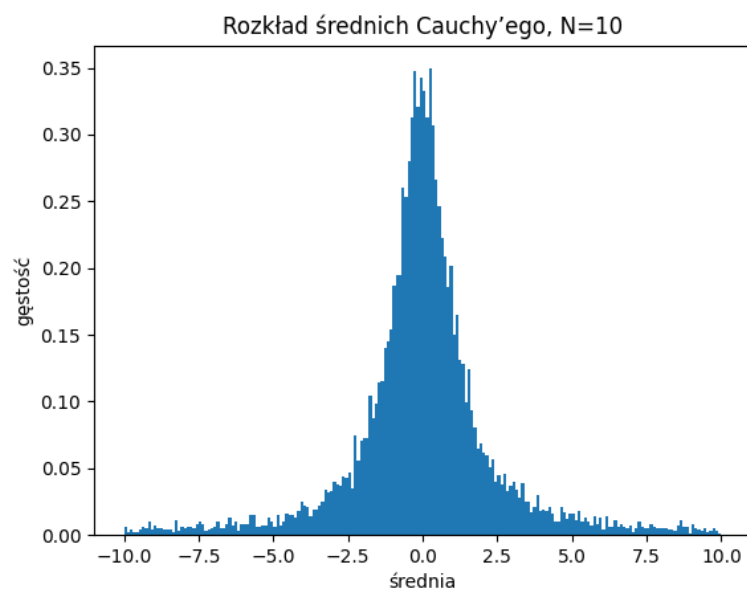
## 2.2 Rozkład Cauchy'ego

Rozważono rozkład Cauchy'ego, który nie posiada skończonej wartości oczekiwanej ani wariancji. W pierwszym kroku wygenerowano histogram zmiennych losowych.

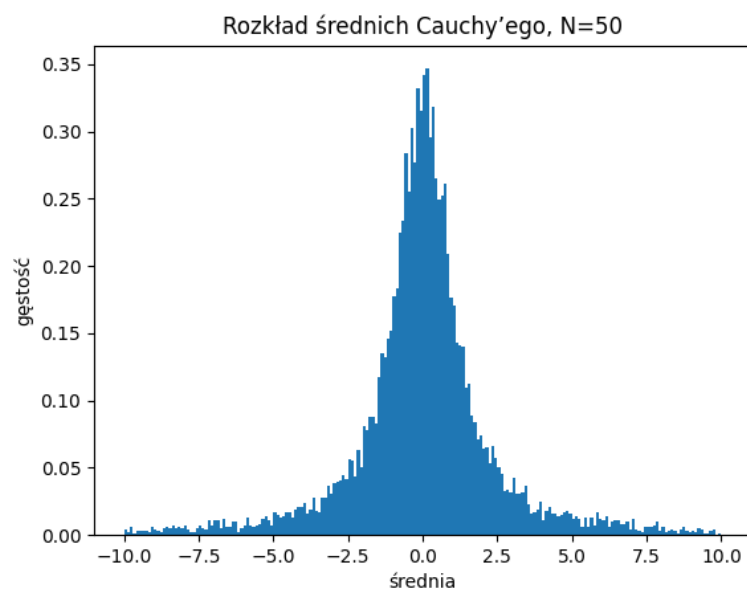


Rysunek 6: Histogram zmiennych losowych z rozkładu Cauchy'ego.

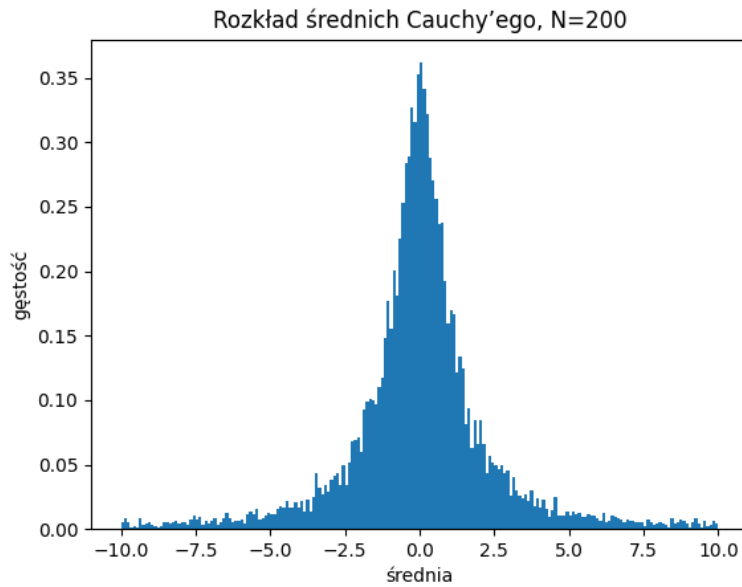
Analogicznie jak poprzednio wyznaczono rozkłady średnich dla różnych wartości  $N$ .



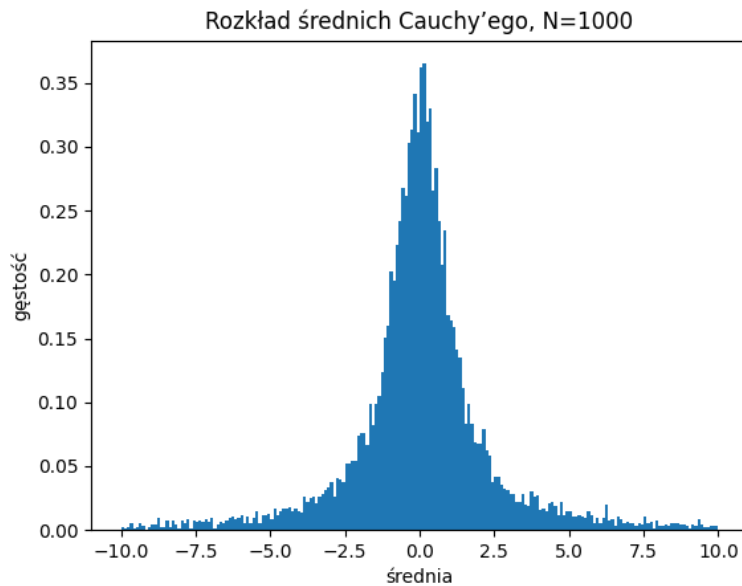
Rysunek 7: Rozkład średnich dla rozkładu Cauchy'ego,  $N = 10$ .



Rysunek 8: Rozkład średnich dla rozkładu Cauchy'ego,  $N = 50$ .



Rysunek 9: Rozkład średnich dla rozkładu Cauchy'ego,  $N = 200$ .



Rysunek 10: Rozkład średnich dla rozkładu Cauchy'ego,  $N = 1000$ .

Niezależnie od liczby obserwacji  $N$ , rozkład średnich nie dąży do rozkładu normalnego, co potwierdza, że centralne twierdzenie graniczne nie obowiązuje dla rozkładu Cauchy'ego.

### 3 Zadanie 2 – Asymetryczna wędrówka losowa

Rozważono jednowymiarową wędrówkę losową, w której prawdopodobieństwo kroku w górę wynosi  $p = 0.11$ , a w dół  $1 - p = 0.89$ . Pozycja początkowa cząsteczki była równa zero.

### 3.1 Opis teoretyczny

Wartość oczekiwana pojedynczego kroku wynosi:

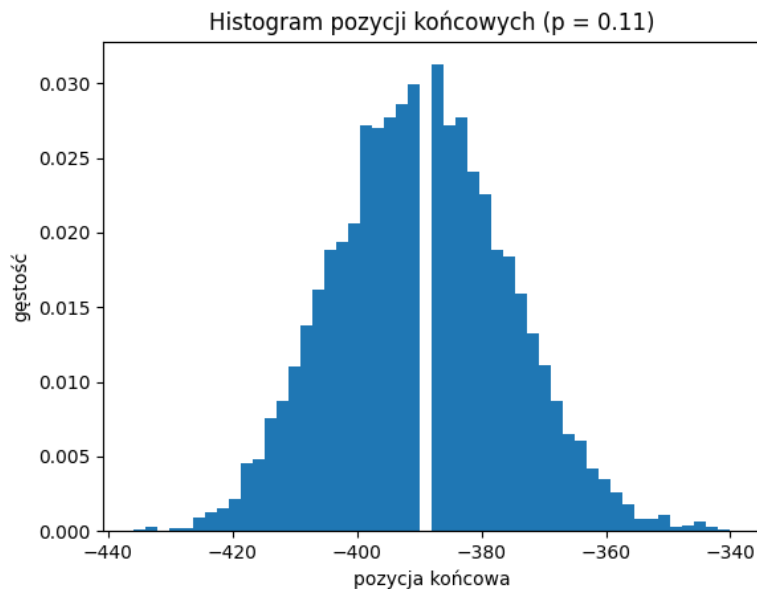
$$\mathbb{E}[Y] = 2p - 1, \quad (2)$$

co prowadzi do zależności:

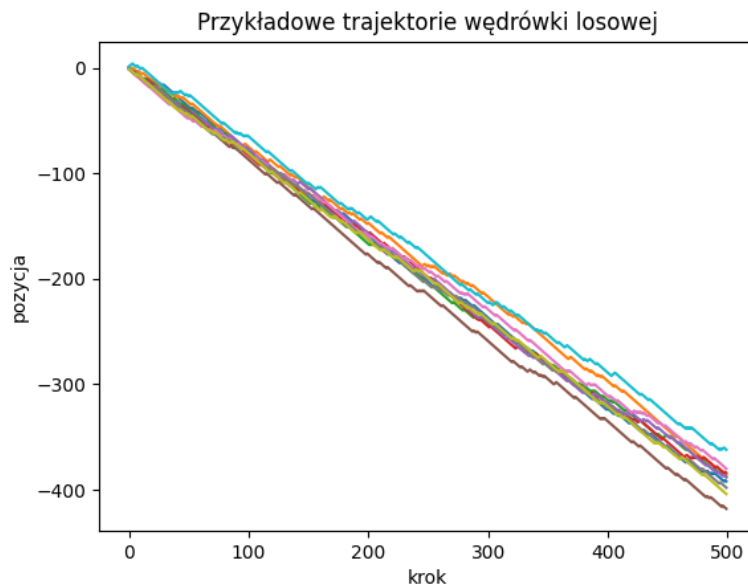
$$\mathbb{E}[X_N] = N(2p - 1). \quad (3)$$

### 3.2 Wyniki symulacji

Przeprowadzono  $M = 5000$  niezależnych realizacji wędrówki losowej dla  $N = 500$  kroków. Na podstawie wyników wyznaczono średnią pozycję końcową wraz z 95% przedziałem ufności.



Rysunek 11: Histogram pozycji końcowych dla asymetrycznej wędrówki losowej ( $p = 0.11$ ).



Rysunek 12: Przykładowe trajektorie asymetrycznej wędrówki losowej.

Uzyskane wyniki wskazują na wyraźny ujemny dryf wędrówki, zgodny z przewidywaniami teoretycznymi.

## 4 Podsumowanie

Przeprowadzone symulacje potwierdziły poprawność centralnego twierdzenia granicznego dla rozkładów o skończonej wariancji oraz jego nieobowiązywanie dla rozkładu Cauchy'ego. Analiza asymetrycznej wędrówki losowej wykazała istotny wpływ parametru  $p$  oraz liczby kroków  $N$  na zachowanie procesu losowego.